



北京理工大学

## 第四讲 采样定理

李炳照

li\_bingzhao@bit.edu.cn

2023-2024-2 学期 研究生课程 本硕博贯通课程



# FFT算法回顾

设 $N=2L$ ，将序列 $x(n)$ 分解为偶数项和奇数项两组：

$$r=0,1, \dots, N/2-1 \quad \begin{cases} x(2r) = x_1(r) \\ x(2r+1) = x_2(r) \end{cases}$$

$$x(n) : \{x_0, x_1, x_2, x_3, \dots, x_{N-2}, x_{N-1}\}$$

$$\{x_0, x_2, x_4, \dots, x_{N-2}\}$$

偶数样本

$$x_1(r) = x(2r)$$

$$\{x_1, x_3, x_5, \dots, x_{N-1}\}$$

奇数样本

$$x_2(r) = x(2r+1)$$



# FFT算法回顾

将DFT运算也相应分为两组：

$$w_N^{nk} = e^{-j\frac{2\pi}{N}nk}$$

$$\begin{aligned}x(k) &= DFT[x(n)] = \sum_{N=0}^{N-1} x(2r)w_N^{nk} \\&= \sum_{r=0}^{\frac{N}{2}-1} \text{偶数项} x(2r)w_N^{2rk} + \sum_{r=0}^{\frac{N}{2}-1} \text{奇数项} x(2r+1)w_N^{(2r+1)k} \\&= \sum_{r=0}^{\frac{N}{2}-1} x(2r)w_N^{2rk} + w_N^k \sum_{r=0}^{\frac{N}{2}-1} x(2r+1)w_N^{2rk}\end{aligned}$$



# FFT算法回顾

由折半引理:  $w_N^{2nk} = w_{N/2}^{nk}$

$$x(k) = G(k) + w_N^k H(k), k = 0, 1, \dots, \frac{N}{2} - 1$$

由消去引理:  $w_N^{k+N/2} = -w_N^k$

$$x(k + \frac{N}{2}) = G(k) - w_N^k H(k), k = 0, 1, \dots, \frac{N}{2} - 1$$

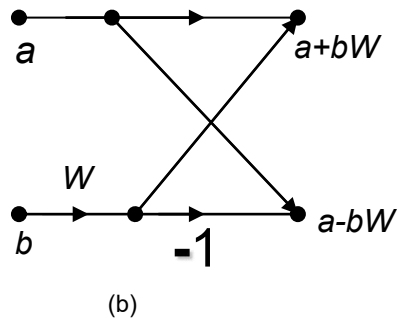
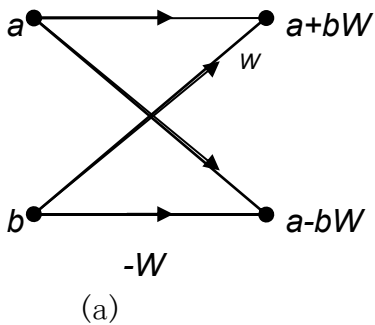
其中:  $H(k) = \sum_{r=0}^{\frac{N}{2}-1} x(2r+1)w_{\frac{N}{2}}^{rk}$        $G(k) = \sum_{r=0}^{\frac{N}{2}-1} x(2r)w_{\frac{N}{2}}^{rk}$



# 蝶形图回顾

将 $H(k)$ 和 $G(k)$ 合成 $X(k)$ 运算可归结为：

$$\begin{cases} a + bW \\ a - bW \end{cases}$$

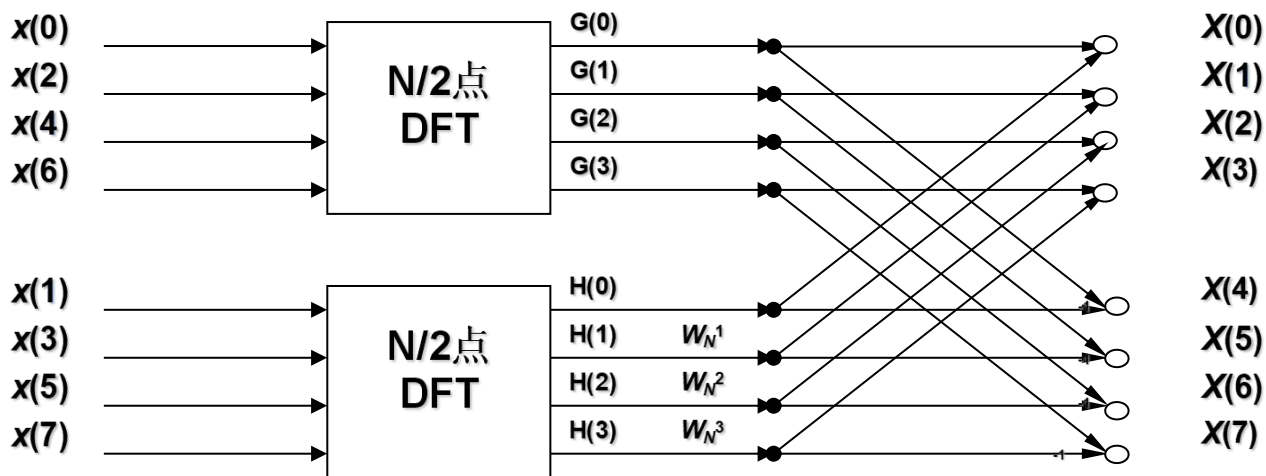


蝶形运算的简化



# 蝶形图回顾

$N=2^3=8$  的例子



两个4点DFT组成8点DFT



# 蝶形图回顾

$$N=2^3=8 \text{ 的例子: } X(k) = \sum_{n=0}^7 x(n) W_8^{nk}$$

$$\{x_0, x_1, x_2, x_3, x_4, x_5, x_6, x_7\}$$

**X(k)**

X(0) X(1) X(2) X(3) X(4) X(5) X(6) X(7)

N=4

k=0,1,2,3,4,5,6,7

$\{x_0, x_2, x_4, x_6\}$

$\{x_1, x_3, x_5, x_7\}$

**G(k)**

G(0) G(1) G(2) G(3)

**H(k)**

H(0) H(1) H(2) H(3)

N=4

k=0,1,2,3

$\{x_0, x_4\}$

$\{x_2, x_6\}$

$\{x_1, x_5\}$

$\{x_3, x_7\}$

**A(k)**

A(0) A(1)

**B(k)**

B(0) B(1)

**C(k)**

C(0) C(1)

**D(k)**

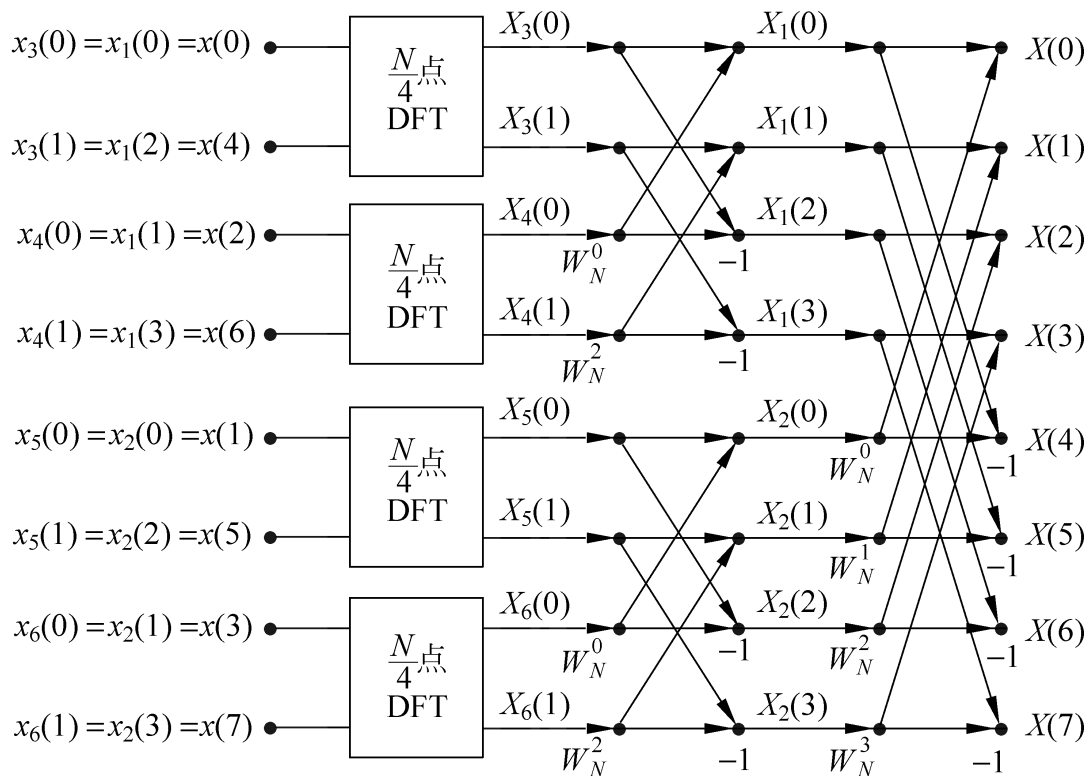
D(0) D(1)

N=2

k=0,1



# Fourier变换离散算法





# 本讲目录



1、引言及其采样信号

2、带限采样信号定理

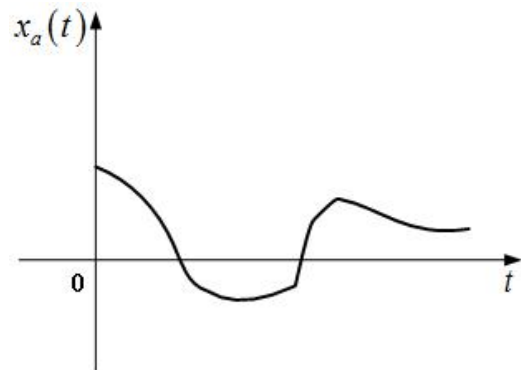
3、带通信号采样定理

4、非均匀采样信号模型

# 采样过程



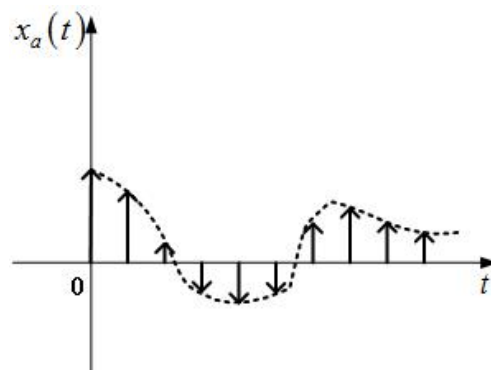
连续信号



采样



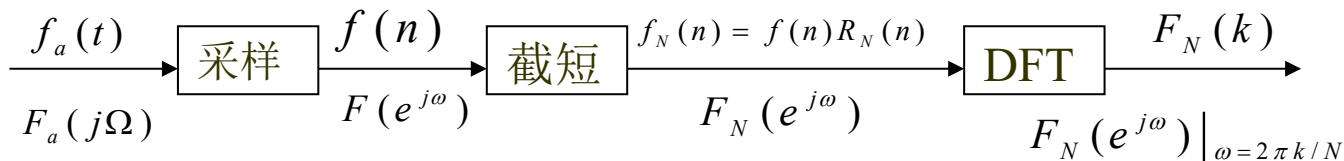
离散信号



**采样**就是对信号进行时间上的离散化，这是对信号作数字化处理的第一个环节。



# 引言及采样信号



经Fourier变换得到信号谱的过程

**采样**就是对信号进行时间上的离散化，这是对信号作数字化处理的第一个环节。



# 引言及采样信号

克劳德·艾尔伍德·香农 (Claude Elwood Shannon)，美国数学家、电子工程师和密码学家，被誉为信息论的创始人。1937年21岁的香农是麻省理工学院的硕士研究生，他在其硕士论文中提出，将布尔代数应用于电子领域，能够构建并解决任何逻辑和数值关系，被誉为有史以来最具水平的硕士论文之一。





# 引言及采样信号

1948年香农发表了划时代的论文——通信的数学原理，奠定了现代信息理论的基础。二战期间，香农为军事领域的密码分析——密码破译和保密通信——做出了很大贡献。2001年2月26日去世，享年84岁。

信息论

控制论

系统论



## 1、离散信号的表示方法

(1) 离散信号是一个离散的数值序列，但序列中的每一数值仍按一定规律随离散变量变化。

(2) 离散信号可以用离散时间函数  $f(kT)$  来表示，但常记为  $f(k)$ 。这样可以同时表示不同采样间隔下的信号。

例如：设  $f(k) = a^k$ ，当  $k = 0, \pm 1, \pm 2, \dots$  等数时，就得到一个数值的序列  $\dots, a^{-2}, a^{-1}, 1, a, a^2, \dots$

这个序列可以看成连续信号 按间隔  $T = \frac{1}{\beta}$  采样得到，也可看成  $a^t$  按采样间隔  $T = 1$  采样得到。



(3) (有序) 数列表示离散信号：将离散信号的数值按顺序排列起来。例如：

$$f(k) = \{1, 0.5, 0, 25, 0.125, \dots\}$$

有时需要标出 $k=0$ 的点：

$$f(k) = \{1, 0.5, 0, 25, 0.125, \dots\}_{k=0}$$

时间函数可以表达任意长（可能是无限长）的离散信号，可以表达单边或双边信号，但是在很多情况下难以得到；

数列的方法表示比较简单，直观，但是只能表示有始、有限长度的信号。



## 2. 离散信号的基本运算

### (1) 离散信号的和、差、积

将两离散信号序号相同的样值相加、相减与相乘而构成一个新的离散信号（序列）。

例如：

$$f_1(k) = (-1)^k \quad k = 0, \pm 1, \pm 2, \dots$$

$$f_2(k) = k - 1 \quad k = 0, 1, 2, \dots$$





$$f_1(k) + f_2(k) = \begin{cases} (-1)^k & (k < 0) \\ (-1)^k + (k-1) & (k \geq 0) \end{cases}$$

$$f_1(k) - f_2(k) = \begin{cases} (-1)^k & (k < 0) \\ (-1)^k - (k-1) & (k \geq 0) \end{cases}$$

$$f_1(k)f_2(k) = (-1)^k(k-1) \quad (k \geq 0)$$

## (2) 离散信号的反褶

将 $f(k)$ 的图形以纵轴为对称轴翻转，得到 $f(-k)$ 。

## (3) 移序

时间序列序号的增减称为移序。将在 $f(k) \rightarrow k$ 平面内的信



号图形沿  $k$  轴向前（左）或向后（右）移动，这时信号各样值的序号都将增加或减少某个定值。

对一般离散信号  $f(k)$ ：

$f(k) \rightarrow f(k + n)$  信号向左移序——增序

$f(k) \rightarrow f(k - n)$  信号向右移序——减序

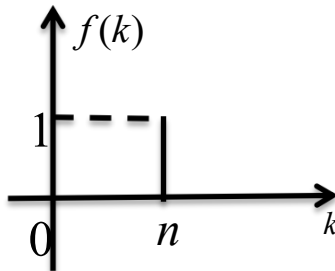


## 3.典型的离散时间信号

(1.)单位函数:

$$\delta(k) = \begin{cases} 1 & k = 0 \\ 0 & \text{其它} \end{cases}$$

下图表示了 $\delta(k-n)$ 的波形。



这个函数与连续时间信号中的冲激函数 $\delta(t)$ 相似，也有着与其相似的性质。例如：

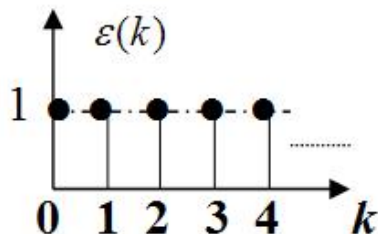
$$f(k)\delta(k) = f(0)\delta(k),$$

$$f(k)\delta(k-k_0) = f(0)\delta(k-k_0).$$



(2.)单位阶跃序列:  $\varepsilon(k) = \begin{cases} 1 & k \geq 0 \\ 0 & \text{其它} \end{cases}$

这个函数与连续时间信号中的阶跃函数  $\varepsilon(t)$  相似。用它可以产生（或表示）单边信号（这里称为单边序列）。





## (3)矩形序列

$$G_N(k) = \begin{cases} 1, & 0 \leq k \leq N-1 \\ 0, & k < 0, k \geq N \end{cases}$$

三者关系:  $\varepsilon(k) = \delta(k) + \delta(k-1) + \delta(k-2) + \dots$

$$= \sum_{j=0}^{\infty} \delta(k-j)$$

$$\delta(k) = \varepsilon(k) - \varepsilon(k-1)$$

$$G_N(k) = \varepsilon(k) - \varepsilon(k-N)$$



(4)单边指数序列:  $a^k \varepsilon(k)$

$a > 0$ , 序列值皆为正

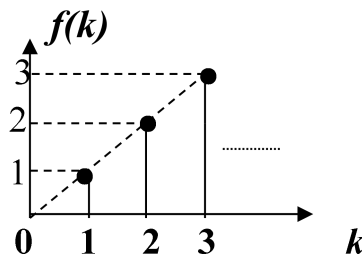
$a < 0$ , 序列值在正、负间摆动

$a > 1$ , 序列发散

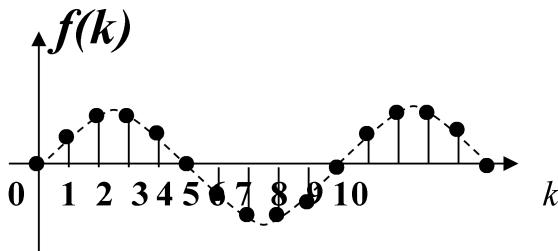
$a < 1$ , 序列收敛



(5) 斜变序列:  $f(k) = k\varepsilon(k)$



(6) 单边正弦序列:  $f(k) = \sin k\varepsilon(k)$



(7) 复指数:  $f(k) = e^{j\omega_0 k} = \cos \omega_0 k + j \sin \omega_0 k$

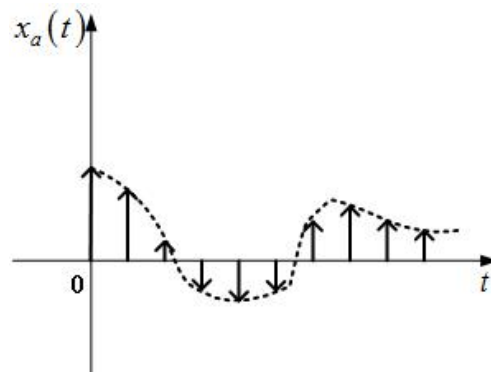
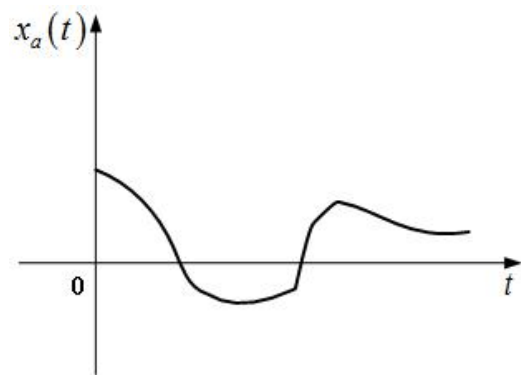
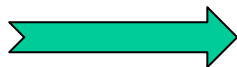
# 采样过程



连续信号

离散信号

采样



采样的目的？如何实现采样？



# 采样研究的核心问题



- (1) 采用什么样的模型来采集信号？
- (2) 采样信号的频谱特点如何？
- (3) 如何通过采样离散点来恢复原始信号？
- (4) 采样误差分析。
- (5) 采样的定理的缺点以及如何改进？

# 本讲目录



1、引言及其采样信号

2、带限采样信号定理

3、带通信号采样定理

4、非均匀采样信号模型



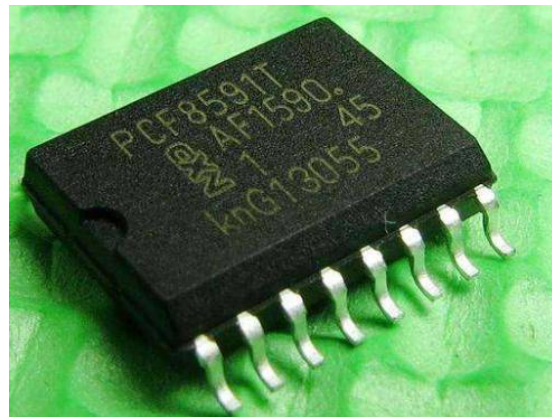
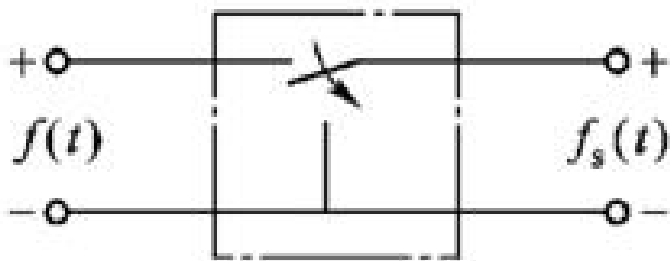
# 带限信号采样定理

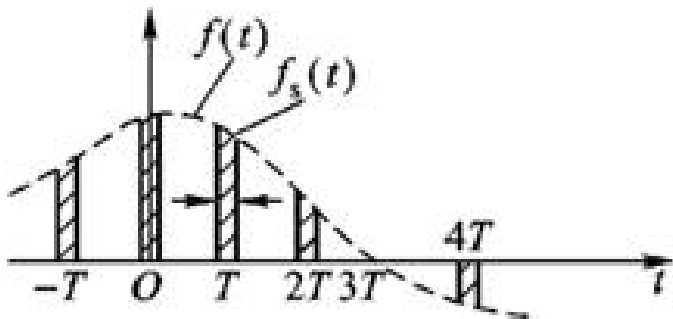
- (1) 均匀采样信号模型
- (2) 采样信号的Fourier变换

# 均匀采样模型



(1) **采样器**：信号的采样由采样器来进行，如下图所示。采样器是一开关，开关每隔 $T$ 时间接通输入信号和接地各一次，接通时间是  $\tau$ 。



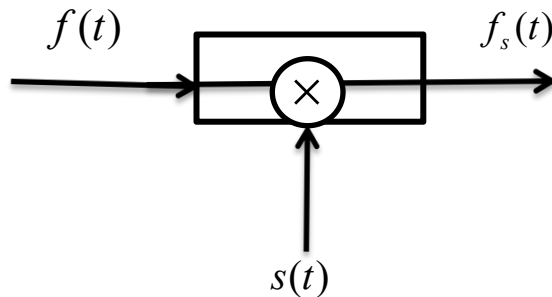


由此，信号  $f(t)$  通过采样器后，采样器的输出信号  $f_s(t)$  只包含开关器接通时间内的输入信号  $f(t)$  的一小段。



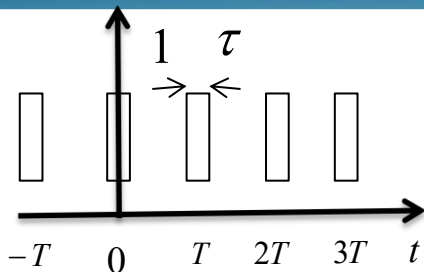
采样过程也可以通过如下的数学模型表示为：

$$f_s(t) = f(t)s(t)$$

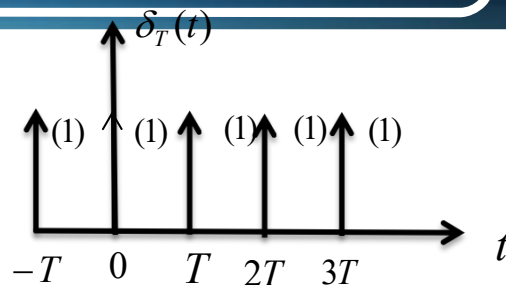


其中开关函数是一个周期性门函数。开关函数中每一矩形脉冲幅度为1，宽度为 $T$ ，面积为 $T$ 。

# 均匀采样模型



开关函数



单位冲激序列

开关函数近似为: 
$$s(t) = \tau \sum_{k=-\infty}^{+\infty} \delta(t - kT) = \tau \delta_T(t)$$

当  $\tau \rightarrow 0$   
似为:

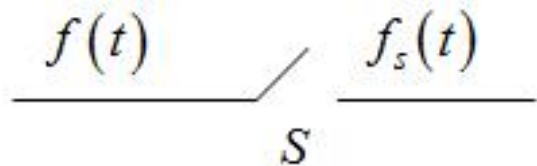
理想情况下的开关函数近

$$s_\delta(t) = \lim_{\tau \rightarrow 0} \tau \sum_{k=-\infty}^{+\infty} \delta(t - kT) = \lim_{\tau \rightarrow 0} \tau \cdot \delta_T(t)$$

# 均匀采样模型

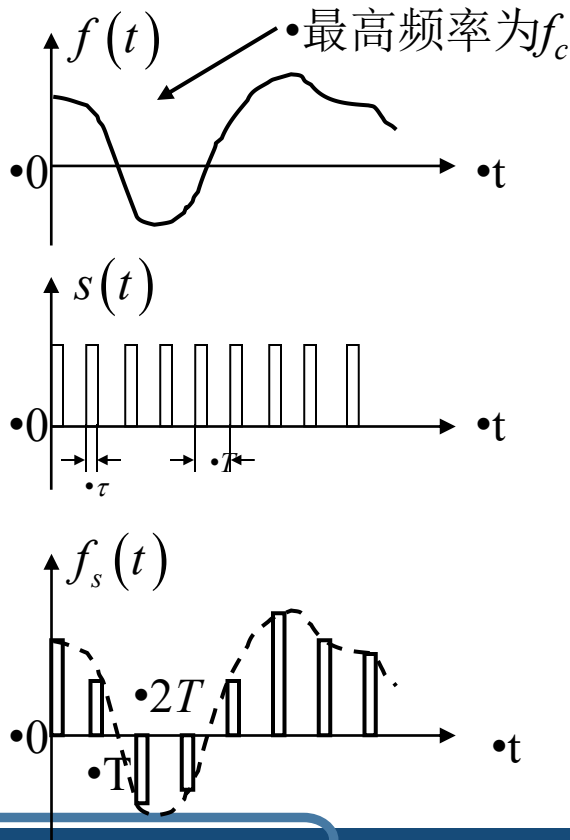


## 模拟信号实际采样



$$\tau \ll T$$

$$f_s(t) = f(t)s(t)$$

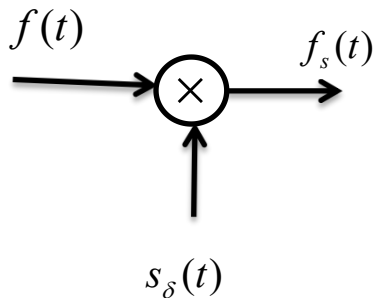




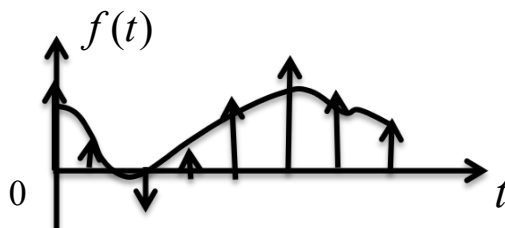
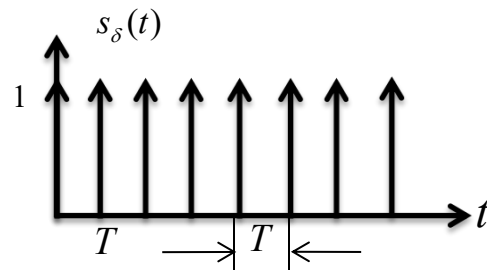
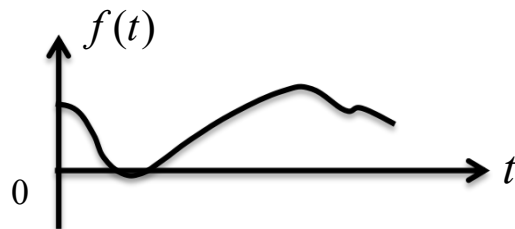
# 均匀采样模型



$$\tau \rightarrow 0 \quad s(t) \rightarrow s_\delta(t)$$



$$f_s(t) = f(t)s_\delta(t) = f(t) \cdot \lim_{\tau \rightarrow 0} \tau \delta_\tau(t)$$





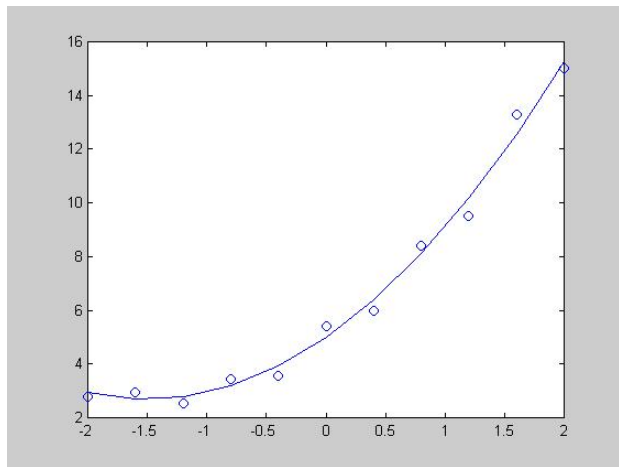
显然，采样以后的信号只与原来的信号在某些离散的时间点上的值有关。采样后的时域信号可记为：

$$f_s(t) = f(t)s_\delta(t) = f(t) \cdot \lim_{\tau \rightarrow 0} \tau \delta_\tau(t)$$

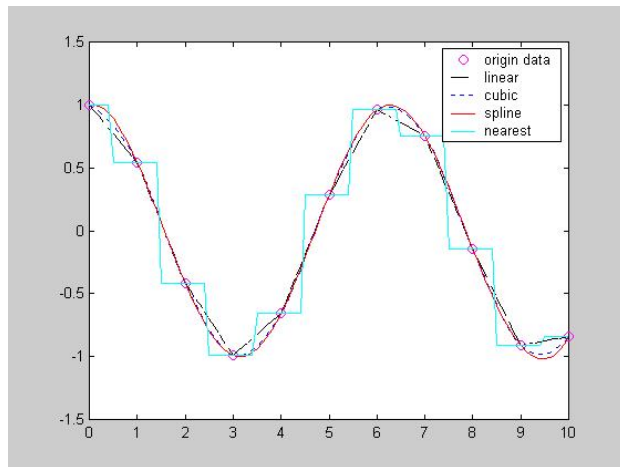
采样理论就是通过上述采样模型的分析，研究它们在Fourier变换后的特点，从而可以进一步得到如何通过信号的时域离散点恢复原始信号。



# 函数的逼近问题: 拟合与插值



拟合



插值

数学领域: 数值计算理论与方法

# 本讲目录



1、引言及其采样信号

2、带限采样信号定理

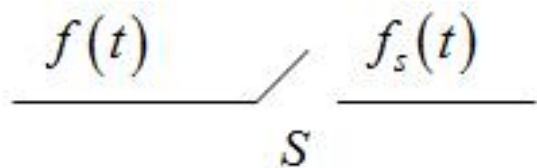
3、带通信号采样定理

4、非均匀采样信号模型



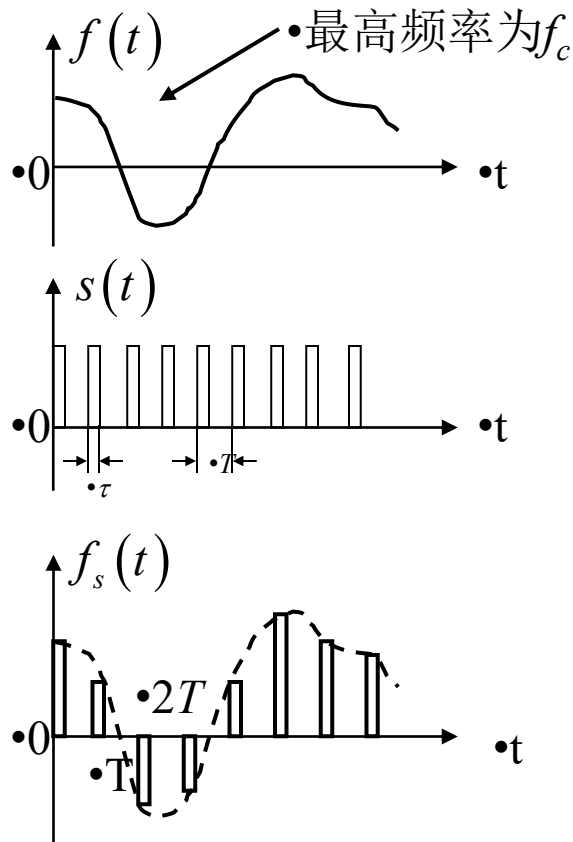
# 采样过程：实际采样

## 模拟信号实际采样



$$\tau \ll T$$

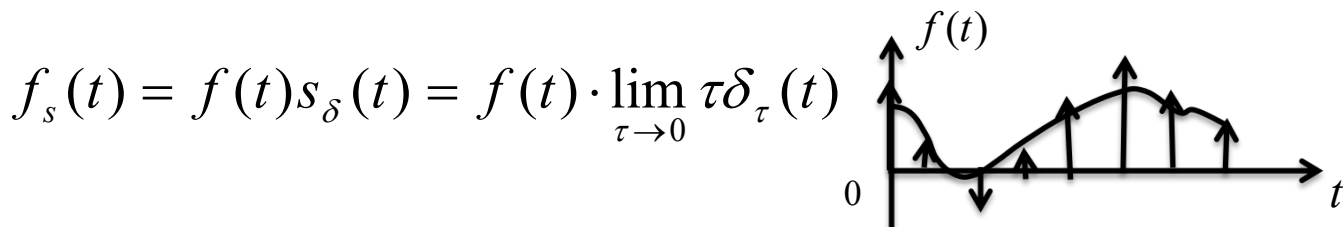
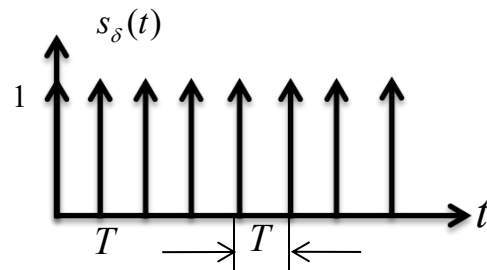
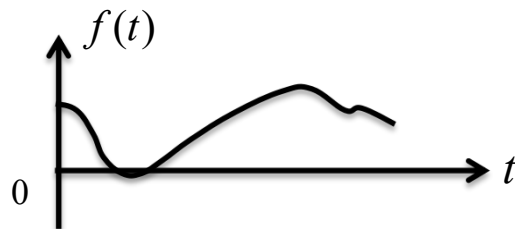
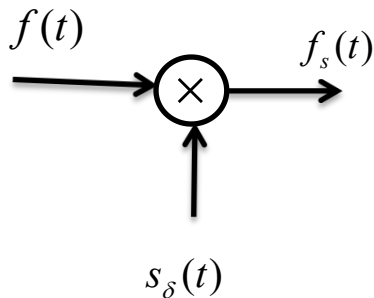
$$f_s(t) = f(t)s(t)$$





# 采样过程：理想采样

$$\tau \rightarrow 0 \quad s(t) \rightarrow s_{\delta}(t)$$



$$f_s(t) = f(t)s_{\delta}(t) = f(t) \cdot \lim_{\tau \rightarrow 0} \tau \delta_{\tau}(t)$$



## 采样问题：实质

$$f_s(t) = f(t)s(t)$$

Shannon尝试从Fourier变换后的频谱特性来解决问题。



# 卷积与卷积定理

**卷积：** 设两个函数 $f(t)$ ,  $g(t)$ 都是可积函数，作积分

$$h(t) = f(t) * g(t)$$

$$= \int_{-\infty}^{+\infty} f(\tau)g(t - \tau)d\tau$$

称上述积分为两个函数的卷积，卷积在实际应用中起到了非常重要的作用。





# 卷积与卷积定理

若  $F_1(jw) = F[f_1(t)]; F_2(jw) = F[f_2(t)]$

(1) 时域卷积定理

$$F[f_1(t) \star f_2(t)] = F_1(jw)F_2(jw)$$

$$\begin{aligned} F[f_1(t) \star f_2(t)] &= \int_R \int_R [f_1(t) \star f_2(t)] e^{-jw t} dt d\tau \\ &= \int_R \int_R f_1(\tau) f_2(t - \tau) e^{-jw t} dt d\tau \\ &= \int_R f_1(\tau) d\tau \left[ \int_R f_2(t - \tau) e^{-jw t} dt \right] \\ &= F_2(jw) \left[ \int_R f_1(\tau) e^{-jw \tau} d\tau \right] \\ &= F_1(jw) F_2(jw) \end{aligned}$$



## (2) 频域卷积定理

$$F[f_1(t)f_2(t)] = \frac{1}{2\pi} F_1(jw) \star F_2(jw)$$

$$\begin{aligned} F^{-1}[F_1(jw) \star F_2(jw)] &= \frac{1}{2\pi} \int_R [F_1(jw) \star F_2(jw)] e^{j\omega t} dw \\ &= \frac{1}{2\pi} \int_R \int_R [F_1(ju) F_2(j(\omega - u))] e^{j\omega t} dw du \\ &= \int_R F_1(ju) du \left[ \frac{1}{2\pi} \int_R F_2(j(\omega - u)) e^{j\omega t} dw \right] \\ &= \int_R F_1(ju) e^{j\omega t} du \left[ \frac{1}{2\pi} \int_R F_2(j(\omega - u)) e^{j\omega t} dw \right] \\ &= 2\pi f_2(t) \left[ \frac{1}{2\pi} \int_R F_1(ju) e^{j\omega t} du \right] \\ &= 2\pi f_1(t) f_2(t) \end{aligned}$$



采样问题：实际采样和理想采样分别分析

(1) 矩形脉冲采样

(2) 单位冲激采样

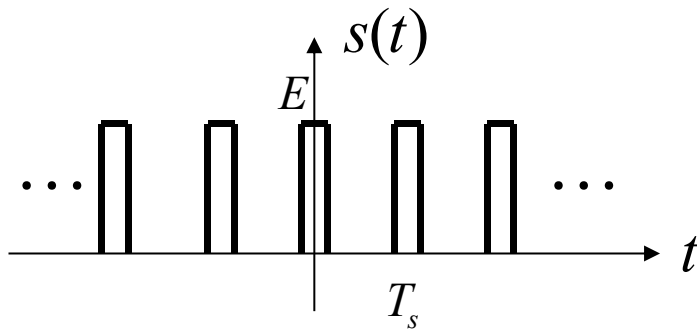
# 不同采样信号的傅里叶变换



令连续信号  $f(t)$  的傅里叶变换为  $F(j\omega)$

采样脉冲  $s(t)$  的傅里叶变换为  $S(j\omega)$

采样后信号  $f_s(t)$  的傅里叶变换为  $F_s(j\omega)$



$$s(t) = \sum_{n=-\infty}^{\infty} S_n e^{jn\omega_s t}$$

# 不同采样信号的傅里叶变换



$f_s(t) = f(t) \cdot s(t)$  如下所示:

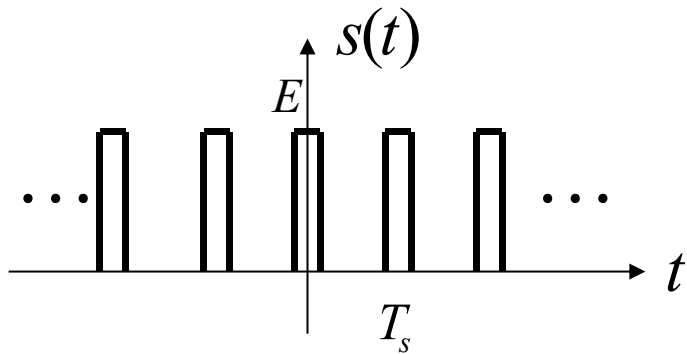
$$\begin{aligned} \text{则: } F_s(j\omega) &= F(f_s(t)) \\ &= F[f(t)s(t)] \\ &= \frac{1}{2\pi} F[f(t)] * F[s(t)] \\ &= \frac{1}{2\pi} F[j\omega] * S(j\omega) \\ &= \frac{1}{2\pi} F[j\omega] * 2\pi \sum_{-\infty}^{+\infty} S_n \delta(\omega - n\omega_s) \\ &= \sum_{-\infty}^{+\infty} S_n F[j(\omega - n\omega_s)] \end{aligned}$$

$$\begin{aligned} S_n &= \frac{1}{T_s} \int_{-\frac{T_s}{2}}^{\frac{T_s}{2}} s(t) e^{-jn\omega_s t} dt \\ \omega_s &= 2\pi f_s = \frac{2\pi}{T_s} \\ S(j\omega) &= 2\pi \sum_{n=-\infty}^{\infty} S_n \delta(\omega - n\omega_s) \end{aligned}$$

# (1) 矩形脉冲采样



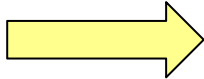
采样脉冲  $s(t)$  是矩形脉冲，令它的脉冲幅度为  $E$ ，脉宽为  $\tau$ ，取样角频率为  $\omega_s$ ，这种取样也称为“自然取样”。



# (1) 矩形脉冲采样

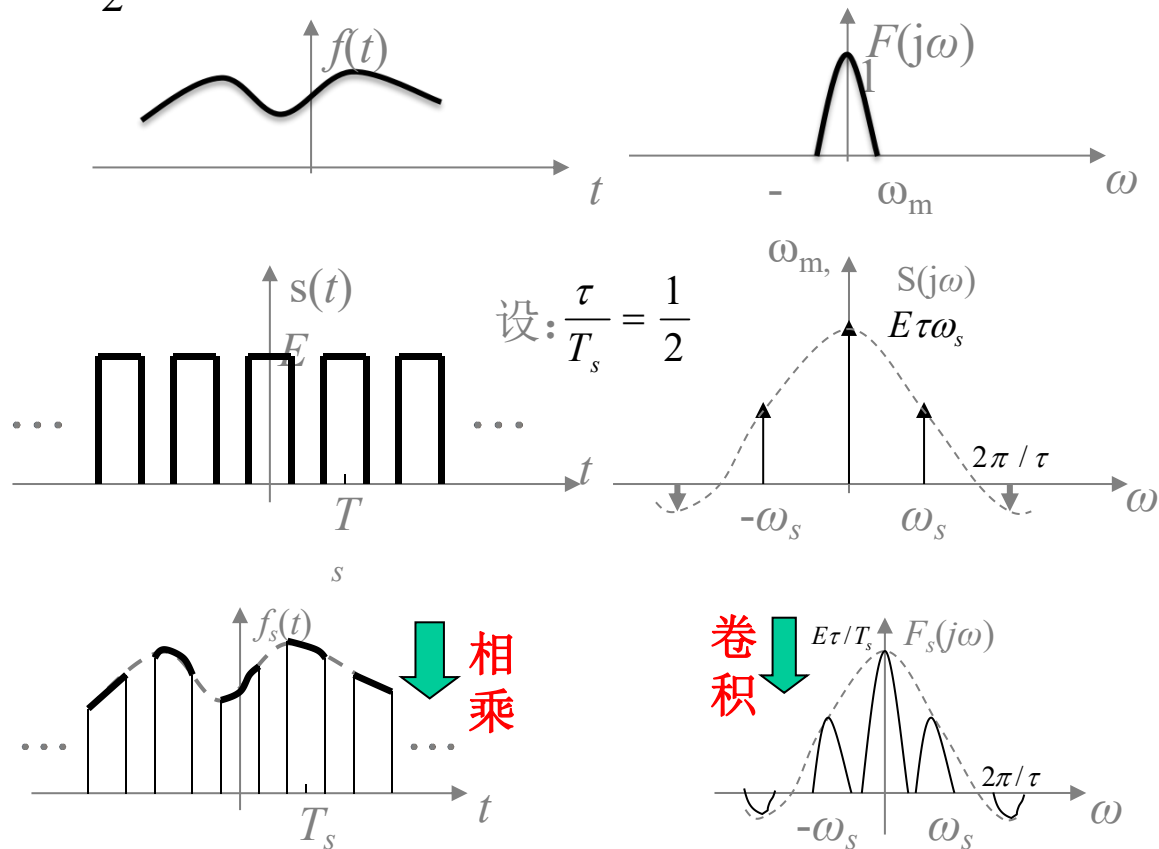


$$\begin{aligned} S_n &= \frac{1}{T_s} \int_{-\frac{T_s}{2}}^{\frac{T_s}{2}} s(t) e^{-jn\omega_s t} dt \\ &= \frac{1}{T_s} \int_{-\frac{\tau}{2}}^{\frac{\tau}{2}} s(t) e^{-jn\omega_s t} dt \\ &= \frac{E\tau}{T_s} \left[ \frac{1}{-jn\omega_s} e^{-jn\omega_s t} \right]_{-\frac{\tau}{2}}^{\frac{\tau}{2}} \\ &= \frac{E\tau}{T_s} \frac{1}{-jn\omega_s} [e^{-jn\omega_s \frac{\tau}{2}} - e^{-jn\omega_s (-\frac{\tau}{2})}] \\ &= \frac{E\tau}{T_s} \frac{1}{-jn\omega_s} [\cos(n\omega_s \frac{\tau}{2}) - j\sin(n\omega_s \frac{\tau}{2}) + \cos(n\omega_s \frac{\tau}{2}) - j\sin(n\omega_s \frac{\tau}{2})] \\ &= \frac{E}{T_s} \frac{1}{-jn\omega_s} [-2j\sin(n\omega_s \frac{\tau}{2})] \\ &= \frac{E\tau}{T_s} \frac{\sin(n\omega_s \frac{\tau}{2})}{n\omega_s \frac{\tau}{2}} \\ &= \frac{E\tau}{T_s} \text{Sa}(n\omega_s \frac{\tau}{2}) \end{aligned}$$



$$\begin{aligned} F_s(j\omega) &= \sum_{n=-\infty}^{\infty} S_n \cdot F[j(\omega - n\omega_s)] \\ F_s(j\omega) &= \frac{E\tau}{T_s} \sum_{n=-\infty}^{\infty} \text{Sa}(\frac{n\omega_s \tau}{2}) F[j(\omega - n\omega_s)] \end{aligned}$$

显然,  $F(j\omega)$  在以  $\omega_s$  为周期的重复过程中幅度以  $Sa(\frac{n\omega_s\tau}{2})$  的规律变化。

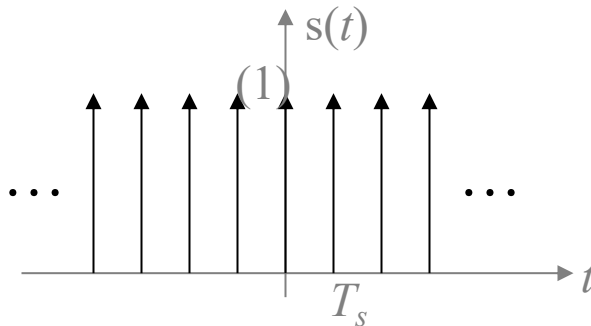




## (2) 冲激采样



若取样脉冲  $s(t)$  是冲激序列，此时称为“冲激取样”或“理想取样”



## (2) 冲激采样



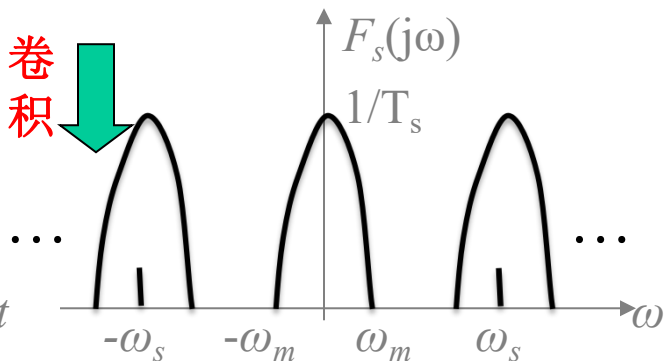
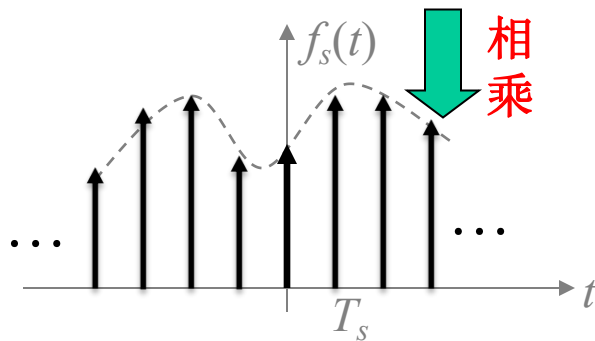
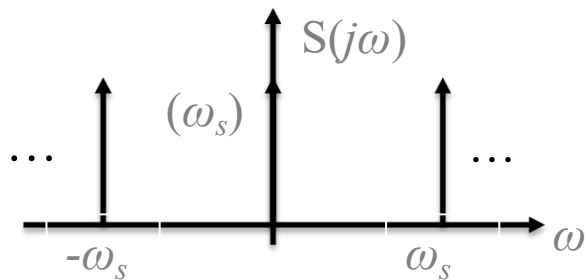
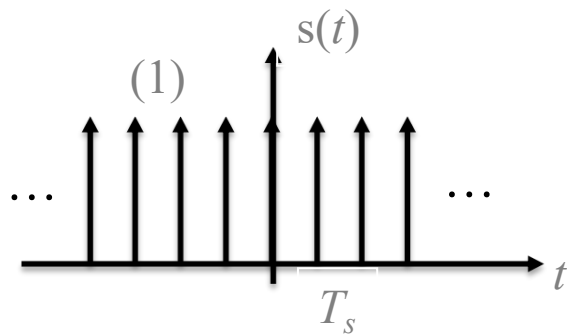
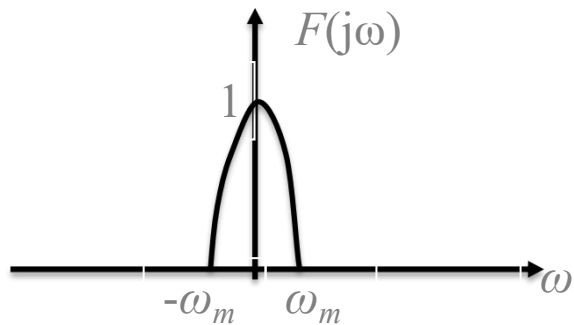
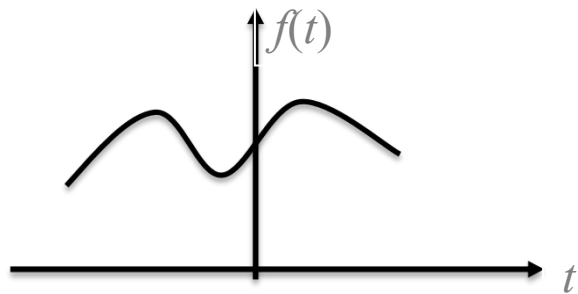
$$s(t) = \delta_T(t) = \sum_{n=-\infty}^{\infty} \delta(t - nT_s)$$

$$S_n = \frac{1}{T_s} \int_{-\frac{T_s}{2}}^{\frac{T_s}{2}} \delta(t) e^{-jn\omega_s t} dt = \frac{1}{T_s}$$

$$F_s(j\omega) = \sum_{n=-\infty}^{\infty} S_n \cdot F[j(\omega - n\omega_s)]$$

$$F_s(j\omega) = \frac{1}{T_s} \sum_{n=-\infty}^{\infty} F[j(\omega - n\omega_s)]$$

由于冲激序列的傅里叶系数 $S_n$ 为常数，所以  $F_s(j\omega)$  是以 $\omega_s$ 为周期等幅地重复。



相乘

卷积

# 采样定理



根据冲击函数性质,  $f(t)$  与  $\delta_T(t)$  相乘的结果也是一个冲击序列, 其冲击的强度等于  $f(t)$  在相应时刻的取值, 即样值  $f(nT_s)$ 。因此采样后信号  $f_s(t)$  又可表示为

$$f_s(t) = f(t) \cdot s(t)$$

$$s(t) = \delta_T(t) = \sum_{n=-\infty}^{\infty} \delta(t - nT_s)$$

$$f_s(t) = f(t) \cdot \sum_{n=-\infty}^{\infty} \delta(t - nT_s) = \sum_{n=-\infty}^{\infty} f(nT_s) \delta(t - nT_s)$$

根据频率卷积定理, 所表述的采样后信号的频谱为

$$F_s(j\omega) = \frac{1}{2\pi} F(j\omega) * S(j\omega)$$

式中  $F(j\omega)$  是低通信号  $f(t)$  的频谱, 其最高角频率为  $\omega_m$ 。

$$S(j\omega) = 2\pi \sum_{n=-\infty}^{\infty} S_n \delta(\omega - n\omega_s)$$

$$S_n = \frac{1}{T_s} \int_{-\frac{T_s}{2}}^{\frac{T_s}{2}} \delta(t) e^{-jn\omega_s t} dt = \frac{1}{T_s}$$

$$F_s(j\omega) = \frac{1}{T_s} [F(j\omega) * \sum_{n=-\infty}^{\infty} \delta(\omega - n\omega_s)]$$

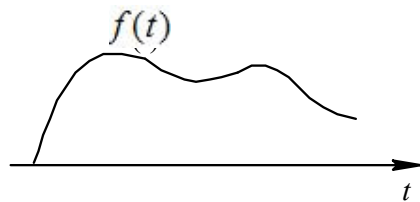
由冲击卷积性质，上式可写成

$$F_s(j\omega) = \frac{1}{T_s} \sum_{n=-\infty}^{\infty} F[j(\omega - n\omega_s)]$$

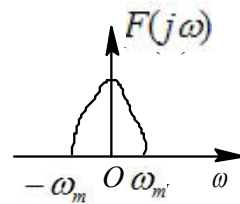
采样后信号的频谱 $F_s(j\omega)$  由无限多个间隔为 $\omega_s$ 的  $F(j\omega)$ 相叠加而成，这意味着采样后的信号 $f_s(t)$  包含了信号 $f(t)$  的全部信息。如果  $\omega_s \geq 2\omega_m$  ，

$$\text{即} \quad f_s \geq 2f_m$$

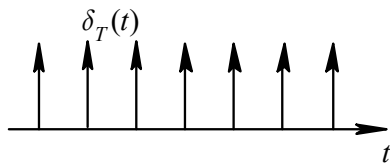
$$\text{也即} \quad T_s \leq \frac{1}{2f_m}$$



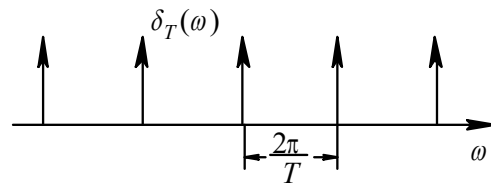
(a)



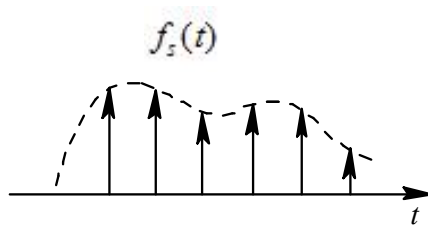
(b)



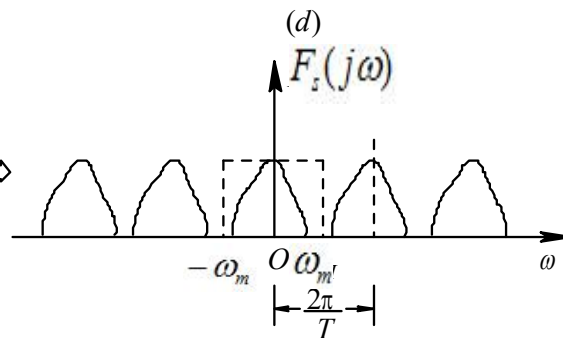
(c)



(d)



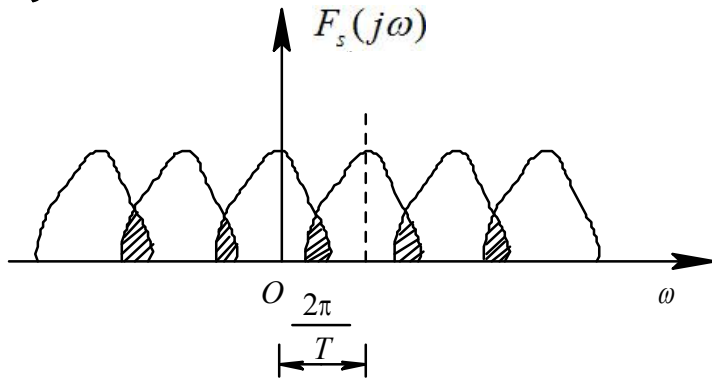
(e)



(f)

采样过程的时间函数及对应频谱图

如果  $\omega_s < 2\omega_m$ ，即采样间隔  $T_s > 1/2f_m$ ，则采样后信号的频谱在相邻的周期内发生混叠，如图所示，此时不可能无失真地重建原信号。



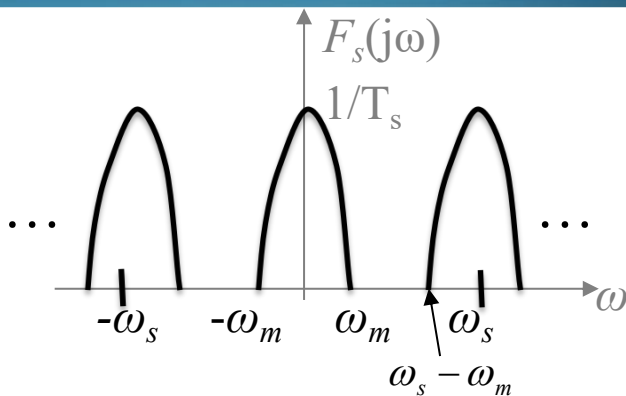
因此必须要求满足  $T_s \leq 1/2f_m$ ， $f(t)$  才能被  $f_s(t)$  完全确定，这就证明了采样定理。显然， $T_s = 1/2f_m$  是最大允许采样间隔，它被称为奈奎斯特间隔，相对应最低采样速率  $f_s = 2f_m$  称为奈奎斯特速率。



- (1) 采样定理
- (2) 信号的重构
- (3) 采样误差分析
- (4) 采样定理的局限及改进



# 采样定理

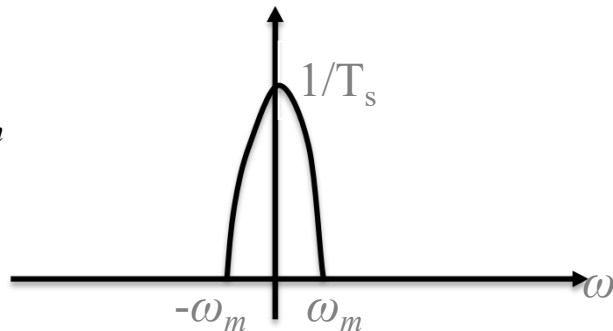
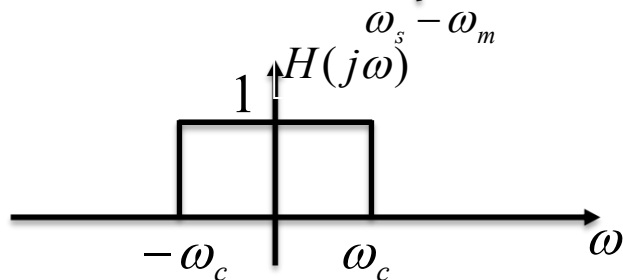
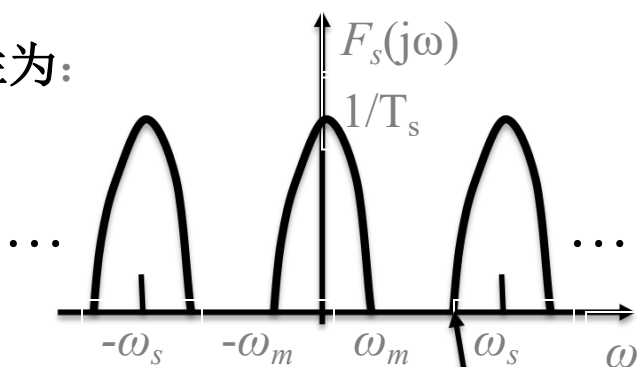


从上图可知：只有满足  $\omega_s \geq 2\omega_m$ ,  $F_s(j\omega)$  才不会产生频谱混叠，即  $f_s(t)$  保留了原连续时间信号的全部信息。这时只要将  $F_s(j\omega)$  施加于“理想低通滤波器”，就可恢复原信号  $F(j\omega)$

理想低通滤波器的频率特性为：

$$H(j\omega) = \begin{cases} 1 & (|\omega| \leq \omega_c) \\ 0 & (|\omega| > \omega_c) \end{cases}$$

其中：  $\omega_m \leq \omega_c \leq \omega_s - \omega_m$



通常把最低允许的取样率称为奈奎斯特取样率，把最大允许的取样间隔称为奈奎斯特间隔。即

$$\omega_{s \min} = 2\omega_m \quad \text{或:} \quad f_{s \min} = 2f_m$$

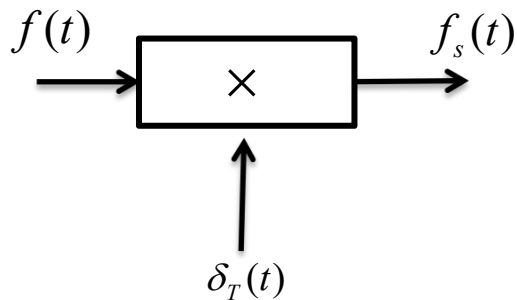
$$T_{s \max} = \frac{1}{f_{s \min}} = \frac{1}{2f_m}$$

# 采样定理

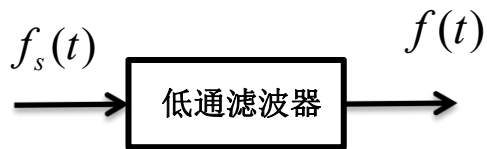


**时域采样定理**：一个**频谱受限**的信号  $f(t)$ 。即在  $|\omega| > \omega_M$  时， $F(j\omega) = 0$ 。如果信号的频谱只占据  $[-\omega_m, \omega_m]$  的范围，则信号  $f(t)$  可以用等间隔的取样值来惟一地表示。而取样间隔必须不大于  $1/(2f_s)$ ，（其中  $\omega_s = 2\pi f_s$ ），或者说，最低取样频率为  $2f_s$ 。这个定理又被称为**香农采样定理**。

# 采样与恢复



(a)



(b)

图 理想采样与信号恢复



根据前面的分析，理想采样与信号恢复的原理框图。频域已证明，将  $F_s(j\omega)$  通过截止频率为  $\omega_c$  的低通滤波器后便可得到

$$F_s(j\omega)D_{2\omega}H(\omega) = \frac{1}{T_s} \sum_{n=-\infty}^{\infty} F(\omega - n\omega_s)D_{2\omega}H(\omega) = \frac{1}{T_s} F(j\omega)$$

$$F(j\omega) = T_s [F_s(j\omega)D_{2\omega}H(\omega)]$$

（应用时域卷积定理），得到

$$f(t) = T_s \left[ f_s(t) * \frac{\omega_m}{\pi} \text{Sa}(\omega_m t) \right]$$



$$f_s(t) = \sum_{n=-\infty}^{\infty} f(nT_s)\delta(t - nT_s)$$

所以

$$f(t) = \sum_{n=-\infty}^{\infty} f(nT_s)\delta(t - nT_s) * Sa(\omega_m t)$$

$$= \sum_{n=-\infty}^{\infty} f(nT_s)Sa[\omega_m(t - nT_s)]$$

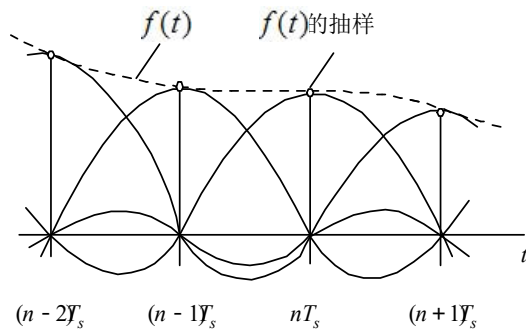
$$= \sum_{n=-\infty}^{\infty} f(nT_s) \frac{\sin[\omega_m(t - nT_s)]}{\omega_m(t - nT_s)}$$

式中,  $f(nT_s)$  是  $f(t)$  在  $t = nT_s$  ( $n = 0, \pm 1, \pm 2, \dots$ ) 时刻的样值。

# 信号的重构



该式是重建信号的时域表达式，称为内插公式。它说明以奈奎斯特速率采样的带限信号  $f(t)$  可以由其样值利用内插公式重建。这等效为将采样后信号通过一个冲激响应为  $Sa(\omega_m t)$  的理想低通滤波器来重建  $f(t)$ 。



信号的重建

由图可见，以每个样值为峰值画一个Sa函数的波形，则合成的波形就是  $f(t)$ 。由于Sa函数和采样后信号的恢复有密切的联系，所以Sa函数又称为采样函数。

# 采样与重建

## 均匀采样定理（低通采样定理）

- 设  $f(t)$  是一个带限信号，在  $\omega > |\omega_m|$  时， $F(j\omega) = 0$ 。
- 如果  $\omega_s \geq 2\omega_m$ ，其中  $\omega_s = 2\pi / T$ ，那么  $f(t)$  就唯一地由其样本  $f(nT), n = 0, \pm 1, \pm 2, \dots$  所确定。
- 当这样的采样信号通过一个增益为  $T$ ，截止频率大于  $\omega_m$ ，而小于  $\omega_s - \omega_m$  的理想低通滤波器后，可以将原信号完全重建。

$$f_r(t) = f_\delta(t) * h(t) = \sum_{n=-\infty}^{+\infty} f(nT) \text{Sa} \left[ \frac{\omega_s(t - nT)}{2} \right]$$



例：已知信号  $f(t) = \text{Sa}(2t)$  用  $\delta_T(t) = \sum_{n=-\infty}^{\infty} \delta(t - nT_s)$  对其进行采样，

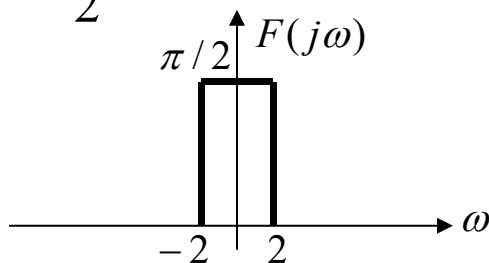
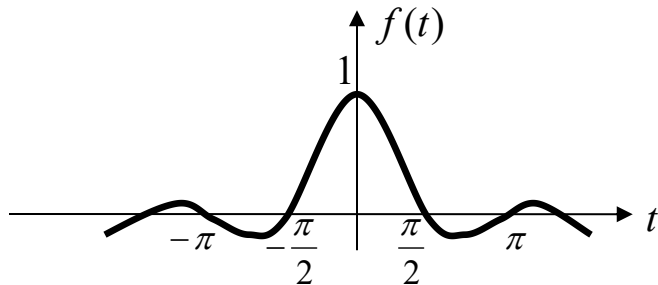
(1) 确定奈奎斯特取样率；

(2) 若取  $\omega_s = 6\omega_m$ ，求采样信号  $f_s(t) = f(t)\delta_T(t)$ ，并画出波形图；

(3) 求  $F_s(j\omega) = \mathcal{F}[f_s(t)]$ ，并画出频谱图；

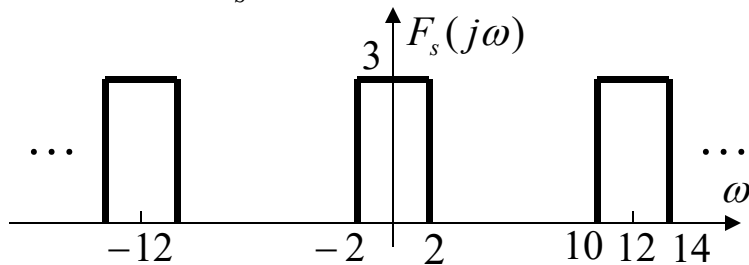
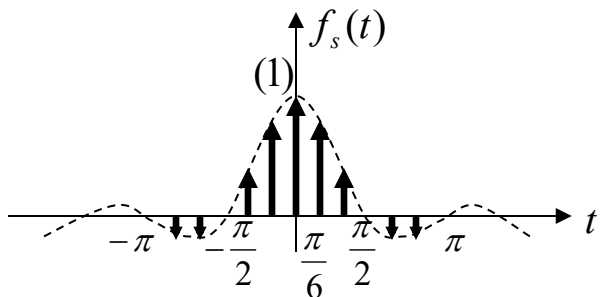
(4) 确定低通滤波器的截止频率  $\omega_c$ 。（ $\omega_m$  是最高频率）

解：(1)  $\because f(t) = \text{Sa}(2t) \quad \therefore F(j\omega) = \frac{\pi}{2} [\varepsilon(\omega + 2) - \varepsilon(\omega - 2)]$



奈奎斯特取样率为： $\omega_{s\min} = 2\omega_m = 2 \times 2 = 4 \text{ rad/s}$

$$(2) \because \omega_s = 6\omega_m = 12 \text{ rad/s} \quad \therefore T_s = \frac{2\pi}{\omega_s} = \frac{2\pi}{12} = \frac{\pi}{6} \text{ s}$$

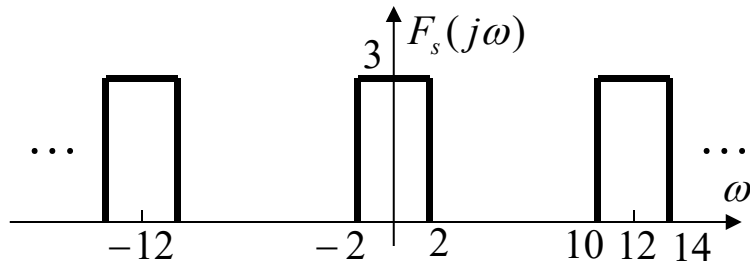
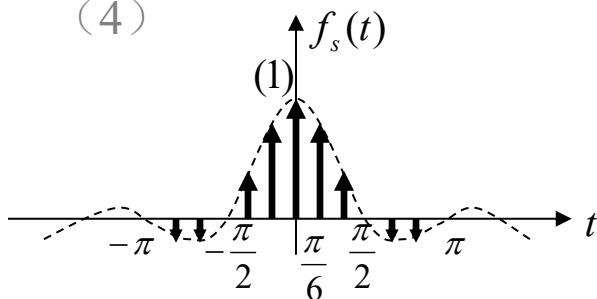


$$f_s(t) = f(t)\delta_T(t) = \sum_{n=-\infty}^{\infty} f(nT_s)\delta(t - nT_s)$$

$$= \sum_{n=-\infty}^{\infty} \text{Sa}(2t) \Big|_{t=nT_s} \delta(t - nT_s) = \sum_{n=-\infty}^{\infty} \text{Sa}\left(\frac{n\pi}{3}\right) \delta(t - nT_s)$$

$$\begin{aligned} (3) \quad F_s(j\omega) &= \frac{1}{T_s} \sum_{n=-\infty}^{\infty} F[j(\omega - n\omega_s)] = \frac{6}{\pi} \sum_{n=-\infty}^{\infty} F[j(\omega - 12n)] \\ &= 3 \sum_{n=-\infty}^{\infty} [\varepsilon(\omega + 2 - 12n) - \varepsilon(\omega - 2 - 12n)] \end{aligned}$$

(4)

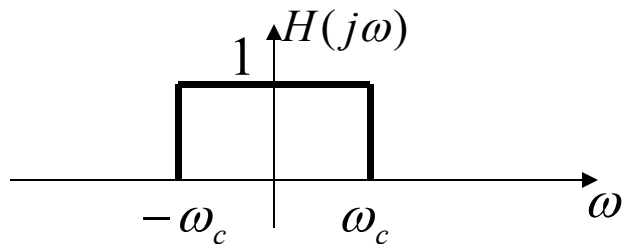


低通滤波器的截止频率 $\omega_c$  应满足下式:

$$\omega_m \leq \omega_c \leq \omega_s - \omega_m$$

即

$$2 \leq \omega_c \leq 10$$



# 总结：



$$f_r(t) = \sum_{n=-\infty}^{+\infty} f(nT) \text{Sa} \left[ \frac{\omega_s(t - nT)}{2} \right]$$

- 1、本质上是内插公式，那和其它的内插公式有没有关系？
- 2、条件：信号是Fourier变换域带限的；
- 3、条件：采样点是均匀采样点  $nT$  ；
- 4、限制：求和是无穷到无穷。



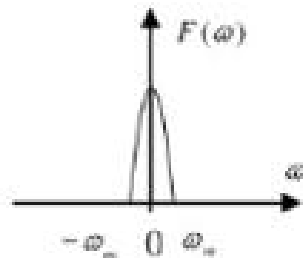
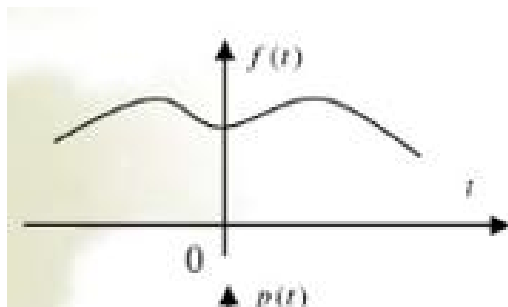
## 1、本质上是内插公式，那和其它的内插公式有没有关系？

在使用 **最小二乘法** 时，我们并未要求得到的拟合曲线一定要经过所有的样本点，而只是要求了 **总偏差最小**。当实际问题要求拟合曲线必须 **经过样本点** 时，我们可以应用数值逼近中的 **插值法**。

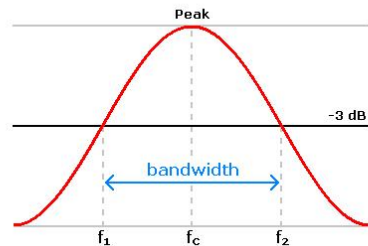
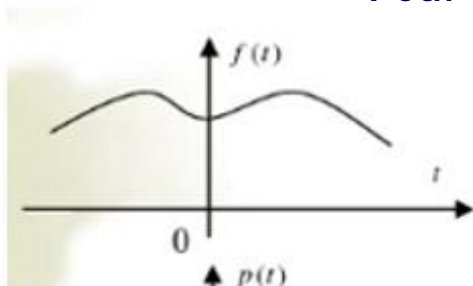
根据实际问题的不同要求，存在多种不同的插值方法，有只要求过样本点的 **拉格朗日插值法**、**牛顿插值法** 等，有既要求过插值点（即样本点）又对插值点处的导数有所要求的 **样条（Spline）插值**，甚至还有对插值曲线的凹凸也有要求的 **B样条插值法**。

对插值法感兴趣的 同学可以查阅相关书籍，例如由 **李岳生** 编著上海科学技术出版社出版的《**样条与插值**》（**1983**年出版）等。

## 2、条件：信号是Fourier变换域带限的



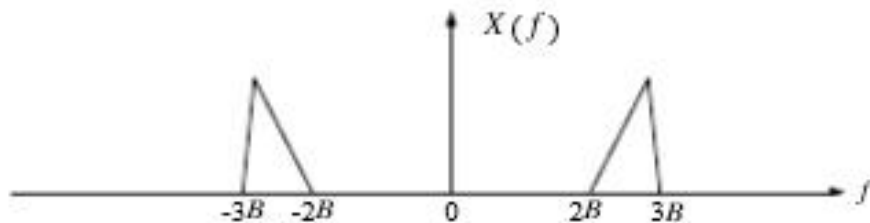
### Fourier变换域带限



### Fourier变换域非带限



## 2、条件：信号是Fourier变换域带限的



Fourier变换域带通信号

带通信号采样定理



### 3、条件：采样点是均匀采样点

非均匀采样信号点不能完全任意的，一定要满足某些条件才能恢复原始信号。具体有：

- 基于有限个采样点的重构公式；
- 如何保证在采样率降低的条件下重构原始信号；
- 在某些典型非均匀采样条件的重构公式如何？
- 在上述文献中都可以找到有关结论。





## 4、限制：求和是无穷到无穷

$$f_r(t) = \sum_{k=-N}^{+N} f(kT) \text{Sa} \left[ \frac{\omega_s(t - kT)}{2} \right]$$

- 建立数学模型时，对被描述的实际问题进行了抽象和简化，模型只是客观现象的一种近似。这种误差称为**模型误差**。
- 在数学模型中往往涉及一些物理量或参数，而观测难免不带误差，这种误差称为**观测误差**。
- 在计算中遇到的无限问题只有通过无限过程才能得到的结果，这时产生的误差称为**截断误差**，也称**方法误差**。
- 在计算中遇到的数据位数很多，也可能是无穷小数，但计算时只能对有限位数进行运算，产生的误差称为**舍入误差**。



在由采样值重构信号时，有四种误差会影响其精确性。误差有如下几种：

1. **混淆误差：**非带宽有限函数或者说它的带宽，则产生混淆误差。
2. **截断误差：**采样定理要求无限多个采样点的值。但是在实际应用中，由于测量仪器的性质，只能取到有限个采样点的值，这样就产生了截断误差。



截断误差表达式：

$$\begin{aligned} T_N(t) &= f(t) - \sum_{n=-N}^N f(nT_s) \frac{\sin(\omega_m(t - nT_s))}{\omega_m(t - nT_s)} \\ &= \sum_{|n| > N} f(nT_s) \frac{\sin(\omega_m(t - nT_s))}{\omega_m(t - nT_s)} \end{aligned}$$



3. 时间抖动误差：若 Nyquist 采样点  $t_k = k/2\omega_m$  不能精确取到，而只能取到  $t_k + \varepsilon_k, |\varepsilon_k| \leq \varepsilon$  则会产生时间抖动误差。

4. 振幅误差：  $f(t)$  满足一定的条件，则它可以由其在某些离散点处的采样值所重构。但是由于实际条件的限制（比如设备条件以及测量误差等，）很难精确测量到某一时刻  $t_k (k = 0, 1, 2, \dots)$  处的信号  $f(t)$  的准确值，而是  $t_k$  点附近的近似值（常用的局部平均值），并不要求误差不大于  $\varepsilon$ ，则这样会产生振幅误差。

# 作业



- 1、请描述并给出卷积定理的证明；
- 2、请在本讲学习的基础上，通过仿真实验验证经典均匀采样定理；
- 本周作业提交截止时间4月6日。

# 谢 谢

